

مدلسازی ربات با مفاصل الاستیک دارای جرم و گشتاور ماند و جداسازی معادله‌های حرکت

علی مقداری* و فربد فهیمی**

دانشکده مهندسی مکانیک، دانشگاه صنعتی شریف

(دریافت مقاله: ۱۳۷۵/۲/۲۲ - دریافت نسخه‌نهایی: ۱۳۷۵/۱/۱۲)

چکیده - اخیراً روشی برای جداسازی معادله‌های دینامیکی سیستمهای چند جسمی صلب به کمک تبدیلات متجانس ابداع شده است. ابتدا این روش بررسی شده و سپس به منظور تعمیم آن به سیستمهای الاستیک، معادله‌های حرکت یک ربات صفحه‌ای دو درجه آزادی با مفاصل الاستیک دارای جرم و گشتاور ماند از دو روش لاگرانژ و جداسازی به کمک تبدیلات متجانس به دست آمده‌اند. نهایتاً نتایج حاصله به دقت با هم مقایسه شده‌اند.

Modeling a Robot with Flexible Joints and Decoupling its Equations of Motion

A. Meghdari and F. Fahimi

Department of Mechanical Engineering, Sharif University of Technology

ABSTRACT- Recently a method has been developed to decouple the equations of motion for multi-rigid body systems. In this paper, the method is first studied, then the equations of motion for a planar two degree-of-freedom robot with flexible joints are carried out using Lagrange's equations and Kane's equation with congruency transformations. Finally, the results obtained from both methods are thoroughly compared.

* استاد ** دانشجوی دکترا

فهرست علامت

\overrightarrow{M}_i	(pxp)	ماتریس مشخصه سیستم	A
m_i	(3×1)	بردار شتاب خطی مرکز جسم نام	\overrightarrow{a}_i
n	$(px1)$	بردار نیروهای فعال عمومیت یافته	\overrightarrow{F}
p	$(px1)$	بردار نیروهای اینرسی عمومیت یافته	\overrightarrow{F}^*
\overrightarrow{q}		نیروهای فعال	F_i
\overrightarrow{I}_i	(3×1)	برایند نیروهای وارد بر جسم نام	f_i
T	(3×1)	بردار اندازه حرکت زاویه‌ای جسم نام	\overrightarrow{H}_i
T_i	(3×3)	ماتریس گشتاور ماند جسم نام	I_i
U_i		گشتاور ماند روتورها و بندها	I
$\overrightarrow{\pi}$	$(3 \times p)$	ماتریس ژاکوبین بردار موقعیت	J_i
V_i		مرکز جرم جسم نام	
Γ_i	(4×4)	ماتریس سختی	K
$\overrightarrow{\nu}_i$		سختی پیچشی مقاطل	k
$\overrightarrow{\omega}_i$	(pxp)	ماتریس قطری	L
Ω_i		طول بندها	I
Ψ	(4×4)	ماتریس جرم	$M(\overline{q})$
		گشتاورهای رانده	M_2 و M_1

همچنین کلیه بردارها در قاب مرجع نوشته شده و کلیه مشتقات برداری نسبت به قاب مرجع محاسبه می‌شوند.

ماتریسهای مناسب تحلیل دینامیکی تبدیل می‌کنند، به کار برده‌اند. پس از آن مجموعه معادله‌های دینامیکی ترکیبی هر بند را از روش ماتریسی (4×4) در یک مجموعه معادله‌ها سوار کرده‌اند. نهایتاً با استفاده‌از یک روند استاندارد حل معادله‌های دیفرانسیل، مدلسازی عددی انجام می‌گیرد. به این ترتیب آنها توانسته‌اند هر شکل پیچیده‌ای را تحلیل کنند. به عنوان نمونه یک مکانیزم چهار میله‌ای صفحه‌ای و یک لنگ و لغزنده فضایی مدلسازی شده‌اند. یک نرم افزار نیز برای تسهیل روند فوق ابداع شده است.

جود [۳] روندی برای مدلسازی ریات بند-بند^۳ پیشنهاد کرد که در آن از تبدیل همگن برای در نظر گرفتن حرکت الاستیک و از معادله‌های اویلر-لاگرانژ برای نوشتمن معادله‌های دینامیکی استفاده کرده است. فرضیاتی که او در نظر گرفته آن است که انرژی حرکت الاستیک در مقایسه با انرژی حرکت صلب ناچیز است. همچنین بندها را تیر ساده فرض کرده است که فقط در شکل مود اول تغییر شکل می‌دهند. بدین ترتیب، معادله‌های به دست آمده غیر خطی بوده که برای کنترل ریات، این معادله‌ها باید خطی شوند. یوسورو [۴] یک ریات دو درجه آزادی با بندهای الاستیک را از

مدلسازی ریات‌های الاستیک سابق طولانی دارد. این کار از سال ۱۹۷۱ آغاز شد. به طور خلاصه به معرفی تحقیقات عمده در این زمینه پرداخته می‌شود.

کلی و هاستون [۱] روند مناسب کامپیوتری برای تعیین نیروها و گشتاورهای مقاطل ریات و کنش الاستیسیته بندها روی آن ابداع کرده‌اند. آنها براساس شکل لاگرانژ و اصل دالامبر معادله‌های حرکت را به دست آورده‌اند و برای نمونه، کاربرد آن را در یک ریات با شش بند نشان داده‌اند. معادله‌هایی که آنها به دست آورده‌اند، می‌توانند بر حسب نیروها و گشتاورهای مقاطل جداسازی شوند، به طوری که در هر معادله فقط یکی از آنها دیده خواهد شد.

سونادا و دوبوسکی [۲] روشی را براساس اجزای محدود برای مدلسازی بندگارهای الاستیک فضایی و صفحه‌ای ابداع کرده‌اند. ابتدا به کمک یک نرم افزار اجزای محدود استاندارد، برای نمونه، "نسترن^۱" شکل هندسی هر بند را مدلسازی کرده‌اند. سپس روش کاهش مقاطعات دینامیکی "تحلیل مود عضو^۲" را برای یافتن ماتریسهای تبدیلی که ماتریس حجم حاصل از "نسترن" را به

۱- مقدمه

تصحیح خطای موقعیت حاصل از تغییر شکل الاستیک در کنترل موقعیت به کار گرفت. سپس آنها مشخصه‌های تغییر شکل الاستیک ریات پوما ۵۶ را با انجام آزمایش به دست آورده‌اند. همچنین آنها نحوه به دست آوردن ماتریس سختی را به منظور بیان ارتباط موقعیت مفاصل و نیروهای خارجی با تغییر شکلهای بندها در سه بعد ارائه کرده‌اند. معادله‌های به دست آمده می‌توانند برای مدلسازی، کنترل و طراحی ریات‌های الاستیک سبک به کار روند.

مقداری [۱۰] یک روش عمومی برای مدلسازی اجزای الاستیک (به ویژه بندها و مفاصل الاستیک) ریات‌ها با استفاده از قضیه کمینه کار کاستیک‌لیانو ارائه کرده‌است. الاستیستیت بندها به صورت ماتریسی از ضرایب کشسانی در نظر گرفته شده‌است. چنین عباراتی را می‌توان برای تعیین خطاهای تغییر شکل الاستیک حاصل از بارگذاری نقطه نهایی ریات به کار گرفت. هنگامی که این تغییر شکلهای محاسبه می‌شوند، می‌توانند برای تصحیح خطاهای موقعیت در روند کنترل استفاده شوند. روش گفته شده به صورت نمونه برای ریات دو و سه درجه آزادی صفحه‌ای نشان داده شده‌است. این روش می‌تواند به سادگی به ریات‌های فضایی تعمیم داده شود. همچنین تغییر شکلهای و خطاهای مستقیماً در مختصات دکارتی محاسبه می‌شوند.

ستینکانت و ایتوپ [۱۱] مدلسازی خودکار دینامیک ریات‌های الاستیک به کمک کامپیوتر را ارائه کرده‌اند. با استفاده از این روش معادله‌های دینامیکی ریات‌های الاستیک با حلقة باز به صورت برگشت ناپذیر و سمبلیک به دست می‌آیند.

مقداری و قاسمپوری [۱۲] کاربردی از روشهای پیوسته (لاگرانژ) و اجزای محدود را در به دست آوردن معادله‌های دینامیکی بازوهای الاستیک ارائه داده‌اند. ابتدا یک بازوی مکانیکی الاستیک یک درجه آزادی برای تحلیلی جامع در نظر گرفته شده‌است. سپس نتایج به یک ریات صفحه‌ای دو درجه آزادی بسط داده شده‌اند. در ادامه نمونه‌های عددی برای هر دو مورد بالا ارائه شده و نهایتاً دو روش از لحاظ دقت و مدت زمان محاسبات مورد مقایسه و تحلیل قرار گرفته‌اند.

لین و لویس [۱۳] یک روند کار برای به دست آوردن خودکار معادله‌های دینامیکی یک ریات صفحه‌ای با بندهای صلب یا الاستیک با هر شکل مود دلخواه به کمک کامپیوتر ارائه کرده‌اند.

لحاظ کنترلی بررسی کرده‌است. وی مدل دینامیکی - الاستیک ریات را از روش اجزای محدود و لاگرانژ به دست آورده‌است. سپس مدل خطی شده را با روش تحلیل مقدارهای ویژه کنترل کرده‌است. آنگاه واکنش سیستم خطی را با واکنش سیستم غیر خطی مقایسه کرده و نتیجه گرفته‌است که فقط در برخی محدوده‌ها سیستم غیر خطی با کنترل خطی رفتار مناسبی دارد.

بوک [۵] برای اولین بار ماتریس‌های انتقال (4×4) را برای توصیف حرکت مفاصل و تغییر شکلهای حاصل از حرکت به کار گرفته‌است. تغییر شکل به صورت مجموع شکل موده‌است. برای نوشتن معادله‌های حرکت از روش تکراری لاگرانژ استفاده شده‌است. این روش کنش متقابل سرعت زاویه‌ای و تغییر شکل را نیز به طور خودکار در محاسبات وارد می‌کند. همچنین فقط مفاصل لولایی قابل بررسی هستند. بررسی وی نشان می‌دهد که انجام محاسبات برای مدل الاستیک ۲/۷ برابر محاسبات مدل صلب طول می‌کشد.

اگراوال [۶] ترکیب بندهای الاستیک را بررسی کرده‌است. بیان موقعیت هر بند با دو دسته مختصات عمومیت یافته یکی مرجع و دیگری الاستیک انجام گرفته‌است. برای تعریف مختصات عمومیت یافته الاستیک از روش اجزای محدود استفاده شده‌است. وی روش تحلیل مودال را برای کاهش درجه سیستم به کار گرفته‌است. همچنین اعمال محدودیتهای پیکربندی دو بند مجاور ریات به کمک ضرایب لاگرانژ انجام شده‌است. سپس به روش پیش‌بینی - تصحیح، معادله‌های حرکت حاصل انتگرالگیری شده و نشان داده شده‌است که کنش تغییر شکل الاستیک در ریات قابل توجه است. در آن مقاله ریات مدلسازی شده یک ریات دو درجه آزادی صفحه‌ای بوده‌است.

شاهین پور و مقداری [۹-۷] یک ماتریس سختی برای بیان ارتباط موقعیت مفاصل و نیروهای خارجی با تغییر شکلهای بندها ارائه کرده‌اند. برای محاسبه‌این ماتریس از اصل نامتغیری انرژی کرنشی در مختصات بندها و مختصات مرجع سیستم استفاده شده‌است. نحوه به دست آمدن این ماتریس به عنوان نمونه برای یک ریات صفحه‌ای دو درجه آزادی با مفاصل لولایی به تفصیل ارائه شده‌است. به این ترتیب با داشتن نیروها و گشتاورهای خارجی می‌توان گشتاور مفاصل و بردار تغییر شکل عمومی لازم برای ایجاد استایی را محاسبه کرد. مقدار بردار تغییر شکل را می‌توان برای

ربات شش درجه آزادی دانشگاه استنفورد را با روش خود مدل و آن را با روش لاغرانژ مقایسه کرده‌اند. برای محاسبه یک گام زمانی در معادله‌های لاغرانژ ۲۱۹۵ عمل ضرب و ۱۷۱۹ عمل جمع، در روش بهینه نیوتن-اویلر ۱۵۴۱ عمل ضرب و ۱۱۹۶ عمل جمع، در روش نیوتن-اویلر-هولرباخ ۸۵۲ عمل ضرب و ۷۳۸ عمل جمع، در روش کین فقط ۶۴۶ عمل ضرب و ۳۹۴ عمل جمع لازم بوده‌است. همچنین روش جداسازی [۱۸] تکمیلی بر روش کین است و ترکیب آنها یک روند ایده آل برای به دست آوردن معادله‌های حرکت سیستمهای چند جسمی است.

۲- جداسازی معادله‌های دیفرانسیل حرکت در جمله‌مرتبه یک هنگامی که از روش معمول کین معادله‌های دیفرانسیل حرکت به دست می‌آیند، به صورت مرتبه یک هستند ولی در جمله‌مرتبه اول جدایستند. لیکن اگر روند زیر پیش‌گرفته شود، به طور خودکار معادله‌های کین می‌توان سرعتهای پاره‌ای و سرعتهای زاویه‌ای پاره‌ای را به صورت ماتریسی زیر نوشت.

$$\mathbf{V}_i = \frac{\partial \vec{v}_i}{\partial \vec{u}^T} \quad (1)$$

$$\Gamma_i = \frac{\partial \vec{\omega}_i}{\partial \vec{u}^T} \quad (2)$$

که در آن \vec{v} سرعت مرکز جرم جسم ۱م، $\vec{\omega}$ سرعت زاویه‌ای جسم ۱م و \vec{u} بردار تندیهای عمومیت یافته هستند که به فرض نداشتن حرکت از پیش تعیین شده بنا به معادله زیر با مشتقات زمانی مختصات عمومیت یافته $\dot{\vec{q}}$ مربوط می‌شوند.

$$\dot{\vec{q}} = T \vec{u} \quad (3)$$

که در آن ماتریس T را ماتریس تبدیل آهنگ گویند. بردار نیروهای فعال عمومیت یافته را می‌توان به صورت زیر نوشت:

$$\vec{F} = \sum_{i=1}^n [\mathbf{V}_i^T \vec{f}_i + \Gamma_i^T \vec{M}_i] \quad (4)$$

معادله‌های دینامیکی ربات بند-بند با استفاده از روش لاغرانژ و تغییر شکل الاستیک به روش مودهای مفروض به دست آمده‌اند. تخمینهای کمتری نسبت به سایر روشها در اینجا در نظر گرفته شده و نهایتاً نتایج دقیق‌ترند. روشی برای تعیین ماتریس گریز از مرکز و کوریولیس ارائه شده است که از آن یک خاصیت مهم سازه‌ای حاصل می‌شود. این روند، اصولی بوده و می‌توان از آن یک برنامه کامپیوتری جبری به کمک "متماتیکا"^۴ تهیه کرد. چهار نمونه برای نشان دادن روند کار ارائه شده‌اند و پایداری معادله‌های دینامیکی با شکل مودهای مختلف مقایسه شده‌اند.

مشکل اساسی در کارهای یاد شده این است که معادله‌های حرکت به دست آمده دیفرانسیل مرتبه دو و بسیار حجمی و پیچیده‌اند. برای حل عددی این معادله‌ها لازم است که آنها به معادله‌های مرتبه یک تبدیل شده و با روش‌های جبری برحسب جمله‌مرتبه یک مرتب شوند. این کار به علت حجم معادله‌ها بسیار مشکل است. اگر از معادله‌های کین برای مدلسازی استفاده شود، حاصل به صورت مرتبه یک خواهد بود ولی مشکل حل جبری برای جمله‌مرتبه یک هنوز وجود دارد.

در سال ۱۹۷۵ کین [۱۴] در کتاب دینامیک خود مفاهیم جدیدی را معرفی کرد. وی همراه با لوینسون این مفاهیم را در کتاب "دینامیک، نظریه و کاربردها" [۱۵] در سال ۱۹۸۵ تکمیل کرد. روش آنها در دینامیک تقریباً مستقل از سایرین است. در مقدمه کتاب اخیرشان نوشتند که برای سیستمهای پیچیده روش‌های نیوتن، لاغرانژ و همیلتون پس از محاسبات طولانی و وقتگیر به معادله‌های حجمی رسند که حتی برای مدلسازی عددی وقت زیادی از کامپیوتر می‌گیرند. همچنین در این روشها دید فیزیکی شرط لازم حل صحیح مسأله است. در [۱۶] کین و لوینسون این ادعا را طی نمونه‌ای نشان داده‌اند. آنها یک کره را که روی زمین می‌غلند از روش لاغرانژ و کین مدلسازی کرده‌اند. در این خصوص به دست آوردن معادله‌های لاغرانژ ۱۵ مشتقگیری و مشتقگیری پاره‌ای لازم داشته در صورتی که روش کین فقط ۱۰ ضرب نقطه‌ای احتیاج دارد. همچنین برای محاسبه یک گام زمانی در هنگام شبیه سازی، معادله‌های لاغرانژ ۴۴ ضرب و ۱۵ جمع و معادله‌های کین فقط ۲۲ ضرب و ۱۳ جمع لازم داشته‌اند. سپس کین و لوینسون [۱۷] نحوه کاربرد روش دینامیک کین را برای رباتهای صلب ارائه داده‌اند. آنها

که در آن:

$$\mathbf{A} = - \sum_{i=1}^n [m_i \mathbf{J}_i^T \mathbf{J}_i + \boldsymbol{\Omega}_i^T \mathbf{I}_i \boldsymbol{\Omega}_i] \quad (12)$$

دیده می‌شود که ماتریس تبدیل آهنگ خود را در $\mathbf{T}^T \mathbf{A} \mathbf{T}$ نشان داده است. یعنی اگر \mathbf{T} طوری انتخاب شود که $\mathbf{T}^T \mathbf{A} \mathbf{T}$ قطری شود، آنگاه معادله‌های حرکت در جمله مرتبه اول جداسازی می‌شوند. این روش را جداسازی از طریق تبدیلهای متجانس گویند.

۱-۲ نحوه یافتن ماتریس تبدیل آهنگ ماتریس زیر مفروض است:

$$\mathbf{A} = \begin{bmatrix} a_{11} & a_{12} & \dots & a_{1p} \\ a_{12} & a_{22} & \dots & a_{2p} \\ \vdots & \vdots & \vdots & \vdots \\ a_{1p} & a_{2p} & \dots & a_{pp} \end{bmatrix} \quad (\text{الف})$$

ماتریس تبدیل آهنگ \mathbf{T} از $1-p$ -عامل تشکیل خواهد شد به طوری که:

$$\mathbf{T} = \mathbf{T}_1 \mathbf{T}_2 \mathbf{T}_3 \dots \mathbf{T}_{p-1} \quad (\text{ب})$$

\mathbf{T}_1 به صورت زیر نوشته می‌شود.

$$\mathbf{T}_1 = \begin{bmatrix} 1 & -a_{12} & \dots & -a_{1k} & \dots & -a_{1p} \\ 0 & \frac{1}{a_{11}} & \dots & \frac{-a_{1k}}{a_{11}} & \dots & \frac{-a_{1p}}{a_{11}} \\ \vdots & \vdots & \vdots & \vdots & \vdots & \vdots \\ 0 & 0 & \dots & 0 & \dots & 1 \end{bmatrix} \quad (\text{ج})$$

حال اگر \mathbf{T}_1 را روی \mathbf{A} به کار ببریم، تمام درایه‌های سطر و ستون اول آن به جز a_{11} صفر خواهد شد. اگر درایه‌های سایر سطرهای و ستونها را b_{ij} بنامیم، می‌توان نوشت:

$$\mathbf{T}_1^T \mathbf{A} \mathbf{T}_1 = \begin{bmatrix} a_{11} & 0 & \dots & 0 \\ 0 & b_{11} & \dots & b_{1n-1} \\ \vdots & \vdots & \vdots & \vdots \\ 0 & b_{n-11} & \dots & b_{n-1n-1} \end{bmatrix} \quad (\text{د})$$

حال \mathbf{T}_2 به صورت زیر محاسبه می‌شود:

که در آن $\tilde{\mathbf{f}}$ برایند نیروها، $\tilde{\mathbf{M}}$ برایند گشتاورهای وارد بر جسم i ام و n تعداد اجرام در سیستم هستند. بردار نیروهای اینرسی عمومیت یافته را می‌توان به شکل زیر نوشت:

$$\tilde{\mathbf{F}}^* = - \sum_{i=1}^n [m_i \mathbf{V}_i^T \dot{\mathbf{a}}_i + \boldsymbol{\Gamma}_i^T \dot{\mathbf{H}}_i] \quad (5)$$

که در آن $\dot{\mathbf{a}}_i$ شتاب خطی مرکز جرم و $\dot{\mathbf{H}}_i$ اندازه حرکت زاویه‌ای جسم i ام هستند. حال معادله ماتریسی کین به صورت زیر در می‌آید.

$$\tilde{\mathbf{F}} + \tilde{\mathbf{F}}^* = \vec{\mathbf{0}} \quad (6)$$

با فرض نداشتن حرکت از پیش تعیین شده، شتاب خطی مرکز جرم و شتاب زاویه‌ای هر جسم برابر است با:

$$\dot{\mathbf{a}}_i = \mathbf{V}_i \ddot{\mathbf{u}} + \dot{\mathbf{V}}_i \dot{\mathbf{u}} \quad ; \quad \dot{\omega}_i = \boldsymbol{\Gamma}_i \ddot{\mathbf{u}} + \dot{\boldsymbol{\Gamma}}_i \dot{\mathbf{u}} \quad (7)$$

دراین صورت مشتق اندازه حرکت زاویه‌ای به شکل زیرنوشته می‌شود:

$$\dot{\mathbf{H}}_i = \mathbf{I}_i \boldsymbol{\Gamma}_i \ddot{\mathbf{u}} + \dot{\mathbf{I}}_i \dot{\boldsymbol{\Gamma}}_i \dot{\mathbf{u}} + \dot{\boldsymbol{\omega}}_i \times \mathbf{I}_i \dot{\mathbf{u}} \quad (8)$$

با توجه به معادله (۳) ماتریس سرعتهای پاره‌ای و سرعتهای زاویه‌ای پاره‌ای را می‌توان به صورت زیر نوشت:

$$\mathbf{V}_i = \frac{\partial \dot{\mathbf{v}}_i}{\partial \dot{\mathbf{q}}^T} \mathbf{T} = \frac{\partial \dot{\mathbf{r}}_i}{\partial \dot{\mathbf{q}}^T} \mathbf{T} = \mathbf{J}_i \mathbf{T} \quad (9)$$

$$\boldsymbol{\Gamma}_i = \frac{\partial \dot{\boldsymbol{\omega}}_i}{\partial \dot{\mathbf{q}}^T} = \boldsymbol{\Omega}_i \mathbf{T} \quad (10)$$

با قراردادن معادله‌های (۱) و (۲) در (۴)، و (۷) و (۸) در (۹) و حاصل آن در (۵) و با استفاده از ۶ معادله حرکت سیستم به صورت زیر در می‌آید:

$$\begin{aligned} \mathbf{T}^T \mathbf{A} \mathbf{T} \ddot{\mathbf{u}} &= \sum_{i=1}^n [m_i \mathbf{T}^T \mathbf{J}_i^T \frac{d}{dt} (\mathbf{J}_i \mathbf{T}) \ddot{\mathbf{u}} + \mathbf{T}^T \boldsymbol{\Omega}_i^T \mathbf{I}_i \frac{d}{dt} (\boldsymbol{\Omega}_i \mathbf{T}) \ddot{\mathbf{u}} \\ &+ \mathbf{T}^T \boldsymbol{\Omega}_i^T (\dot{\boldsymbol{\omega}}_i \times \mathbf{I}_i \dot{\mathbf{u}}) - \mathbf{T}^T \mathbf{J}_i^T \tilde{\mathbf{f}}_i - \mathbf{T}^T \boldsymbol{\Omega}_i^T \tilde{\mathbf{M}}_i] \end{aligned} \quad (11)$$

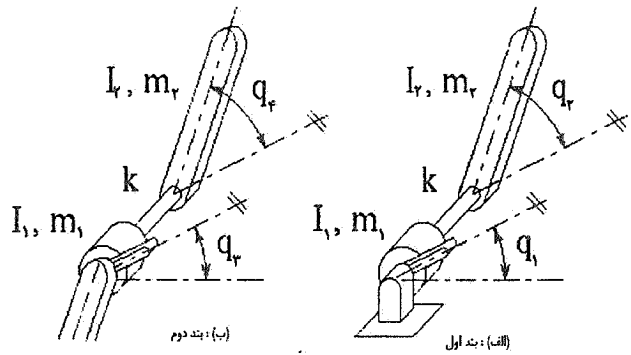
انرژی جنبشی روتور دوم:

$$T_2 = \frac{1}{2} I_2 \dot{q}_2^2 + \frac{1}{2} m_2 l [(\dot{q}_1 + \dot{q}_2)]^2 \quad (14)$$

انرژی جنبشی بند اول:

$$T_1 = \frac{1}{2} I_1 (\dot{q}_1 + \dot{q}_2)^2 + \frac{1}{2} m_1 [\frac{1}{l} (\dot{q}_1 + \dot{q}_2)]^2 \quad (15)$$

انرژی جنبشی بند دوم:



شکل ۱ - یک ربات دو درجه آزادی صفحه‌ای با مفاصل الاستیک

$$\begin{aligned} T_1 &= \frac{1}{2} I_1 (\dot{q}_1 + \dot{q}_2)^2 + \frac{1}{2} m_1 [\frac{1}{l} (\dot{q}_1 + \dot{q}_2)]^2 \\ &\cos(q_1 + q_2 - q_3 - q_4) + l^2 (\dot{q}_1 + 2\dot{q}_1 \dot{q}_2 \\ &+ \dot{q}_2^2 + (\dot{q}_3 + \dot{q}_4)^2) \end{aligned} \quad (16)$$

انرژی پتانسیل گرانشی روتور اول:

$$T_1 = \begin{bmatrix} 1 & 0 & .. & .. & .. & 0 \\ 0 & 1 & -\frac{b_{12}}{b_{11}} & .. & .. & -\frac{b_{1n-1}}{b_{11}} \\ 0 & 0 & 1 & .. & .. & 0 \\ \vdots & \vdots & \vdots & \vdots & \vdots & \vdots \\ 0 & 0 & .. & .. & .. & 1 \end{bmatrix} \quad (ه)$$

$$U_1 = 0 \quad (17)$$

به همین روش می‌توان تا T_{p-1} را محاسبه کرد و سپس از معادله (ب) ماتریس تبدیل آهنگ را به دست آورد.

انرژی پتانسیل گرانشی بند اول:

$$U_2 = m_2 g \frac{1}{2} \sin(q_1 + q_2) \quad (18)$$

انرژی پتانسیل گرانشی روتور دوم:

$$U_3 = m_1 g l \sin(q_1 + q_2) \quad (19)$$

انرژی پتانسیل گرانشی بند دوم:

$$U_4 = m_2 g [l \sin(q_1 + q_2) + \frac{1}{2} \sin(q_3 + q_4)] \quad (20)$$

انرژی پتانسیل مفاصل الاستیک:

$$U_5 = \frac{1}{2} k q_1^2 \quad ; \quad U_6 = \frac{1}{2} k q_2^2 \quad (21)$$

۳- روش لاگرانژ

یک ربات دو درجه آزادی صفحه‌ای با مفاصل الاستیک خطی مطابق شکل (۱) مفروض است به طوری که جرم و گشتاور ماند روتورهای مفاصل در مقایسه با بندهای ربات قابل اغماض نباشند. ربات در صفحه عمودی کار می‌کند. مختصات عمومیت یافته مطابق شکل زیر در نظر گرفته می‌شود. q_1 زاویه دوران محور روتور اول نسبت به زمین، q_2 جایه جایی زاویه‌ای الاستیک محور روتور اول، q_3 زاویه دوران محور روتور دوم نسبت به زمین و q_4 جایه جایی زاویه‌ای الاستیک محور روتور دوم هستند. با فرض جرمها و گشتاورهای مساوی برای بندها و روتورها می‌توان انرژی جنبشی و پتانسیل سیستم را به صورت زیر نوشت.

انرژی جنبشی روتور اول:

$$T_1 = \frac{1}{2} I_1 \dot{q}_1^2 \quad (13)$$

$$\begin{aligned} & m_1 l^2 (q_1 + \ddot{q}_1) \cos(q_1 + q_2 - q_3 - q_4) \\ & + (I_\gamma + m_1 l^2)(\ddot{q}_3 + \ddot{q}_4) + \frac{1}{\gamma} m_2 g l \cos(q_3 + q_4) \\ & - m_2 l^2 (q_1 + \dot{q}_2)^2 \sin(q_1 + q_2 - q_3 - q_4) + k q_4 = 0. \end{aligned} \quad (28)$$

برای مدلسازی عددی معادله‌های بالا را باید ساده کرد و به شکل معادله‌های دیفرانسیل مرتبه یک در آورد. به منظور سادگی کار ابتدا معادله‌ها را به صورت ماتریسی (۲۹) در می‌آوریم (پایین صفحه). که در آن:

$$q = q_1 + q_2 - q_3 - q_4 \quad (30)$$

با در نظر گرفتن علامتگذاری ساده تر می‌توان نوشت:

$$M(\vec{q}) \cdot \ddot{\vec{q}} + K \cdot \vec{q} + \vec{A}(\vec{q}, \vec{q}) + \vec{G}(\vec{q}) = \vec{F} \quad (31)$$

$$\begin{aligned} \ddot{\vec{q}} &= -M^{-1}(\vec{q}) \cdot K \vec{q} - M^{-1}(\vec{q}) \cdot \vec{A}(\vec{q}, \vec{q}) \\ &- M^{-1}(\vec{q}) \cdot \vec{G}(\vec{q}) + M^{-1}(\vec{q}) \cdot \vec{F} \end{aligned} \quad (32)$$

$$\ddot{\vec{q}} = \vec{u} ; \quad \vec{q} = \vec{u} \quad (33)$$

با فرض: خواهیم داشت:

$$\begin{aligned} \vec{u} &= -M^{-1}(\vec{q}) \cdot K \cdot \vec{q} - M^{-1}(\vec{q}) \cdot \vec{A}(\vec{u}, \vec{q}) \\ &- M^{-1}(\vec{q}) \cdot \vec{G}(\vec{q}) + M^{-1}(\vec{q}) \cdot \vec{F} \end{aligned} \quad (34)$$

$$\ddot{\vec{q}} = \vec{u} \quad (35)$$

حال نیروهای فعال به صورت زیر به دست می‌آیند:

$$\widehat{M}_1 = M_1 \widehat{k} ; \quad \widehat{\theta}_1 = q_1 \widehat{k} ; \quad F_1 = \sum_{i=1}^4 \widehat{M}_i \cdot \frac{\partial \widehat{\theta}_i}{\partial q_1} = M_1 \quad (22)$$

$$\widehat{M}_\gamma = M_\gamma \widehat{k} ; \quad \widehat{\theta}_\gamma = q_\gamma \widehat{k} ; \quad F_\gamma = \sum_{i=1}^4 \widehat{M}_i \cdot \frac{\partial \widehat{\theta}_i}{\partial q_\gamma} = M_\gamma \quad (23)$$

حال با توجه به معادله‌های لاغرانژ می‌توان معادله‌های حرکت را به دست آورد.

$$\frac{d}{dt} \left(\frac{\partial T}{\partial \dot{q}_i} \right) - \frac{\partial T}{\partial q_i} + \frac{\partial u}{\partial q_i} = F_i \quad (i = 1 \text{ تا } 4) \quad (24)$$

$$\begin{aligned} & m_1 l^2 (\ddot{q}_3 + \ddot{q}_4) \cos(q_1 + q_2 - q_3 - q_4) + I_1 \ddot{q}_1 + I_\gamma + \\ & I^2 (m_1 + \frac{\Delta}{\gamma} m_\gamma)] (\ddot{q}_1 + \ddot{q}_4) + (m_1 + \frac{\gamma}{\gamma} m_\gamma) g l \cos(q_1 + q_2) \\ & + m_2 l^2 (q_1 + \dot{q}_2)^2 \sin(q_1 + q_2 - q_3 - q_4) = M_1 \end{aligned} \quad (25)$$

$$\begin{aligned} & m_1 l^2 (\ddot{q}_3 + \ddot{q}_4) \cos(q_1 + q_2 - q_3 - q_4) + I_\gamma + \\ & I^2 (m_1 + \frac{\Delta}{\gamma} m_\gamma)] (\ddot{q}_1 + \ddot{q}_4) + (m_1 + \frac{\gamma}{\gamma} m_\gamma) g l \cos(q_1 + q_2) \\ & + m_2 l^2 (q_1 + \dot{q}_2)^2 \sin(q_1 + q_2 - q_3 - q_4) - q_4 + k q_4 = 0. \end{aligned} \quad (26)$$

$$\begin{aligned} & m_1 l^2 (q_1 + \ddot{q}_1) \cos(q_1 + q_2 - q_3 - q_4) + I_1 \ddot{q}_1 \\ & + (I_\gamma + m_1 l^2) (\ddot{q}_3 + \ddot{q}_4) + \frac{1}{\gamma} m_2 g l \cos(q_3 + q_4) \\ & - m_2 l^2 (q_1 + \dot{q}_2)^2 \sin(q_1 + q_2 - q_3 - q_4) = M_\gamma \end{aligned} \quad (27)$$

$$\begin{bmatrix} I_\gamma + (m_1 + \frac{\Delta}{\gamma} m_\gamma) l^2 & I_\gamma + (m_1 + \frac{\Delta}{\gamma} m_\gamma) l^2 & m_1 l^2 \cos(q) & m_2 l^2 \cos(q) \\ I_1 & \ddots & \ddots & \ddots \\ m_1 l^2 \cos(q) & m_1 l^2 \cos(q) & I_\gamma + m_1 l^2 & I_\gamma + m_1 l^2 \\ \ddots & \ddots & I_1 & \ddots \end{bmatrix} \begin{bmatrix} \ddot{q}_1 \\ \ddot{q}_2 \\ \ddot{q}_3 \\ \ddot{q}_4 \end{bmatrix} + \begin{bmatrix} 0 & k & 0 & 0 \\ 0 & -k & 0 & 0 \\ 0 & 0 & 0 & k \\ 0 & 0 & 0 & -k \end{bmatrix} \begin{bmatrix} q_1 \\ q_2 \\ q_3 \\ q_4 \end{bmatrix} +$$

$$\begin{bmatrix} m_1 l^2 (q_3 + \dot{q}_4)^2 \sin q \\ \ddots \\ -m_2 l^2 (q_1 + \dot{q}_2)^2 \sin q \end{bmatrix} + \begin{bmatrix} (m_1 + \frac{\gamma}{\gamma} m_\gamma) g l \cos(q_1 + q_2) \\ \ddots \\ \frac{1}{\gamma} m_2 g l \cos(q_3 + q_4) \end{bmatrix} = \begin{bmatrix} M_1 \\ \vdots \\ M_\gamma \end{bmatrix} \quad (28)$$

$$\vec{\omega}_1 = \dot{q}_1 \hat{k}$$

دیده می شود که برای محاسبه هر گام زمانی لازم به معکوس کردن ماتریس $(\vec{q})^T M$ است. این روش برای مقایسه ارائه شده است. حال روش جداسازی و دینامیک کین که هدف اصلی در این مقاله است به کار گرفته خواهد شد.

$$\vec{\omega}_2 = (q_1 + \dot{q}_2) \hat{k}$$

(40)

$$\vec{\omega}_3 = \dot{q}_3 \hat{k}$$

(41)

$$\vec{\omega}_4 = (q_3 + \dot{q}_4) \hat{k}$$

(42)

با توجه به معادله های زیر ماتریسهای J و Ω محاسبه می شوند.

$$J_i = \frac{\partial \vec{r}_i}{\partial \vec{q}^T} ; \quad \Omega_i = \frac{\partial \vec{\omega}_i}{\partial \vec{q}^T}$$

$$J_1 = \begin{bmatrix} \cdot & \cdot & \cdot & \cdot \\ \cdot & \cdot & \cdot & \cdot \end{bmatrix}$$

(43)

$$J_2 = \begin{bmatrix} -\frac{1}{\gamma} \sin(q_1 + q_2) & -\frac{1}{\gamma} \sin(q_1 + q_2) & \cdot & \cdot \\ \frac{1}{\gamma} \cos(q_1 + q_2) & \frac{1}{\gamma} \cos(q_1 + q_2) & \cdot & \cdot \end{bmatrix}$$

(44)

$$J_3 = \begin{bmatrix} -l \sin(q_1 + q_3) & -l \sin(q_1 + q_3) & \cdot & \cdot \\ l \cos(q_1 + q_3) & l \cos(q_1 + q_3) & \cdot & \cdot \end{bmatrix}$$

(45)

$$J_4 = \begin{bmatrix} -l \sin(q_1 + q_4) & -l \sin(q_1 + q_4) & -\frac{1}{\gamma} \sin(q_3 + q_4) & -\frac{1}{\gamma} \sin(q_3 + q_4) \\ l \cos(q_1 + q_4) & l \cos(q_1 + q_4) & \frac{1}{\gamma} \cos(q_3 + q_4) & \frac{1}{\gamma} \cos(q_3 + q_4) \end{bmatrix}$$

(46)

$$\Omega_1 = \begin{bmatrix} \cdot & \cdot & \cdot & \cdot \\ \cdot & \cdot & \cdot & \cdot \\ 1 & 0 & 0 & 0 \end{bmatrix} \quad \Omega_2 = \begin{bmatrix} \cdot & \cdot & \cdot & \cdot \\ \cdot & \cdot & \cdot & \cdot \\ 0 & 1 & 0 & 0 \end{bmatrix}$$

$$\Omega_3 = \begin{bmatrix} \cdot & \cdot & \cdot & \cdot \\ \cdot & \cdot & \cdot & \cdot \\ 0 & 0 & 1 & 0 \end{bmatrix} \quad \Omega_4 = \begin{bmatrix} \cdot & \cdot & \cdot & \cdot \\ \cdot & \cdot & \cdot & \cdot \\ 0 & 0 & 1 & 1 \end{bmatrix}$$

حال از معادله زیر ماتریس A به دست می آید:

$$A = - \sum_{i=1}^4 (m_i J_i^T J_i + \Omega_i^T I_i \Omega_i) ; \quad m_1 = m_1 ; \quad m_2 = m_2 ; \quad I_1 = I_1 ; \quad I_2 = I_2$$

$$A = - \begin{bmatrix} I_1 + I_2 + (m_1 + \frac{\rho}{\varphi} m_2) l^2 & I_2 + (m_1 + \frac{\rho}{\varphi} m_2) l^2 & \frac{1}{\varphi} m_2 l^2 \cos(q) & \frac{1}{\varphi} m_2 l^2 \cos(q) \\ I_2 + (m_1 + \frac{\rho}{\varphi} m_2) l^2 & I_2 + (m_1 + \frac{\rho}{\varphi} m_2) l^2 & \frac{1}{\varphi} m_2 l^2 \cos(q) & \frac{1}{\varphi} m_2 l^2 \cos(q) \\ \frac{1}{\varphi} m_2 l^2 \cos(q) & \frac{1}{\varphi} m_2 l^2 \cos(q) & I_1 + I_2 + \frac{1}{\varphi} m_2 l^2 & I_2 + \frac{1}{\varphi} m_2 l^2 \\ \frac{1}{\varphi} m_2 l^2 \cos(q) & \frac{1}{\varphi} m_2 l^2 \cos(q) & I_2 + \frac{1}{\varphi} m_2 l^2 & I_2 + \frac{1}{\varphi} m_2 l^2 \end{bmatrix} \quad (51)$$

$$A = T^T \left[- \sum_{i=1}^4 (m_i J_i^T J_i + \Omega_i^T I_i \Omega_i) \right] T \quad (54)$$

که در آن:

$$q = q_1 + q_2 - q_3 - q_4 \quad (52)$$

اگر جمع برداری باقیمانده را به $h(q, u)$ نشان دهیم، معادله حرکت به صورت زیر نوشته می‌شود:

$$A\vec{u} = \vec{h}(\vec{q}, \vec{u}) \quad (55)$$

حال بردار x و ماتریس Ψ را تعریف می‌کنیم.

مشاهده می‌شود که برای چنین سیستمی که ابعاد ماتریس A بزرگتر از سه است، به دست آوردن تبدیل متجانس به صورت بسته کار وقتگیری بوده و معادله‌های حاصل حجمی می‌شوند. در صورتی که احتیاج به این کار نبوده و می‌توان تبدیل متجانس را در هر گام زمانی به صورت عددی به دست آورد که البته این کار ساده تراز وارون کردن ماتریس در روش لاگرانژ است.

$$\vec{u} = \psi \vec{x} \quad (56)$$

با قرار دادن در معادله حرکت ساده شده داریم:

- تفسیر جداسازی معادله‌های دیفرانسیل حرکت به روش عددی برای به دست آوردن روند عددی جداسازی معادله‌های دیفرانسیل حرکت دوباره به معادله حرکت کلی سیستمهای هولونومیک بر می‌گردیم.

$$A\Psi\vec{x} = \vec{h}(\vec{q}, \vec{u}) \quad (57)$$

با ضرب طرفین در Ψ^T می‌توان نوشت:

$$\begin{aligned} & \sum_{i=1}^n [m_i T^T J_i^T J_i T \vec{u} + m_i T^T J_i^T \frac{d}{dt} (J_i T) \vec{u} \\ & + T^T \Omega_i^T I_i \Omega_i T \vec{u} + T^T \Omega_i^T I_i \frac{d}{dt} (\Omega_i T) \vec{u} \\ & + T^T \Omega_i^T \vec{\omega} \times I_i \vec{\omega} - T^T J_i \vec{f}_i - T^T \Omega_i \vec{M}_i] = \vec{0} \quad (53) \end{aligned}$$

$$\Psi^T A \Psi \vec{x} = \Psi^T \vec{h}(\vec{q}, \vec{u}) ; \quad L = \Psi^T A \Psi ;$$

$$L\vec{x} = \Psi^T \vec{h}(\vec{q}, \vec{u}) \quad (58)$$

اگر ماتریس Ψ به صورت یک تبدیل متجانس انتخاب شود L به شکل قطری خواهد بود و وارون آن به سادگی از وارون کردن درایه‌ها حاصل می‌شود. خواهیم داشت:

$$\vec{x} = L^{-1} \Psi^T \vec{h}(\vec{q}, \vec{u}) \quad (59)$$

و نهایتاً شکل جداسازی شده مرتبه اول به دست می‌آید.

در اینجا لازم نیست برای جداسازی لزوماً از ماتریس تبدیل آهنگ T طوری استفاده کرد که تبدیل متجانس نیز باشد، بلکه می‌توان آن را به صورت دلخواه (همان طور که در روش کین انتخاب می‌شود) انتخاب کرد. اما برای گریز از مشتقگیری از آن در هر گام زمانی حل، سعی می‌شود این ماتریس وابسته به زمان نباشد. حال تبدیل متجانس دیگری معرفی می‌شود که مستقل از متغیرهای دینامیکی سیستم بوده و مشتق نداشته باشد. فرض شود T ماتریس واحد انتخاب شود. ماتریس A (ضریب L) به صورت زیر نوشته می‌شود:

$$\ddot{\mathbf{q}} = \Psi \mathbf{L}^{-1} \Psi^T \ddot{\mathbf{h}}(\ddot{\mathbf{q}}, \ddot{\mathbf{u}}) \quad (60)$$

حال این روش را برای ریات یادشده با مفاصل الاستیک به کار می بریم.

۶- کاربرد جداسازی معادله های دیفرانسیل حرکت به روش عددی

در اینجا برای سادگی کار ماتریس تبدیل آهنگ را واحد فرض می کنیم. برای نوشتتن معادله های حرکت باید مشتقهای ماتریسهای \mathbf{J} و Ω محاسبه شوند.

$$\mathbf{j}_1 = \begin{bmatrix} \cdot & \cdot & \cdot & \cdot \\ \cdot & \cdot & \cdot & \cdot \end{bmatrix} \quad (61)$$

$$\mathbf{j}_2 = \begin{bmatrix} -\frac{1}{\gamma}(\dot{q}_1 + \dot{q}_2) \cos(q_1 + q_2) & -\frac{1}{\gamma}(\dot{q}_1 + \dot{q}_2) \cos(q_1 + q_2) & \cdot & \cdot \\ -\frac{1}{\gamma}(\dot{q}_1 + \dot{q}_2) \sin(q_1 + q_2) & -\frac{1}{\gamma}(\dot{q}_1 + \dot{q}_2) \sin(q_1 + q_2) & \cdot & \cdot \end{bmatrix} \quad (62)$$

$$\mathbf{j}_3 = \begin{bmatrix} -l(\dot{q}_1 + \dot{q}_2) \cos(q_1 + q_2) & -l(\dot{q}_1 + \dot{q}_2) \cos(q_1 + q_2) & \cdot & \cdot \\ -l(\dot{q}_1 + \dot{q}_2) \sin(q_1 + q_2) & -l(\dot{q}_1 + \dot{q}_2) \sin(q_1 + q_2) & \cdot & \cdot \end{bmatrix} \quad (63)$$

$$\mathbf{j}_4 = \begin{bmatrix} -l(\dot{Q}_1) \cos(Q_1) & -l(\dot{Q}_1) \cos(Q_1) & -\frac{1}{\gamma}(\dot{Q}_2) \cos(Q_2) & -\frac{1}{\gamma}(\dot{Q}_2) \cos(Q_2) \\ -l(\dot{Q}_1) \sin(Q_1) & -l(\dot{Q}_1) \sin(Q_1) & -\frac{1}{\gamma}(\dot{Q}_2) \sin(Q_2) & -\frac{1}{\gamma}(\dot{Q}_2) \sin(Q_2) \end{bmatrix} \quad (64)$$

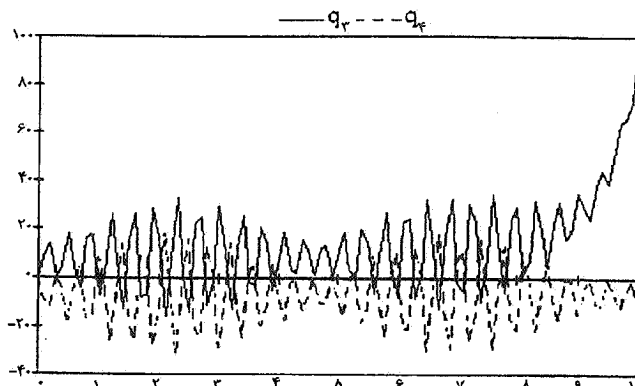
$$Q_1 = q_1 + q_2 ; \quad \dot{Q}_1 = \dot{q}_1 + \dot{q}_2 ; \quad Q_2 = q_3 + q_4 ; \quad \dot{Q}_2 = \dot{q}_3 + \dot{q}_4 \quad (65)$$

$$\dot{\Omega}_1 = \dot{\Omega}_2 = \dot{\Omega}_3 = \dot{\Omega}_4 = \begin{bmatrix} \cdot & \cdot & \cdot & \cdot \\ \cdot & \cdot & \cdot & \cdot \\ \cdot & \cdot & \cdot & \cdot \end{bmatrix} \quad (66)$$

۷- حل نمونه عددی

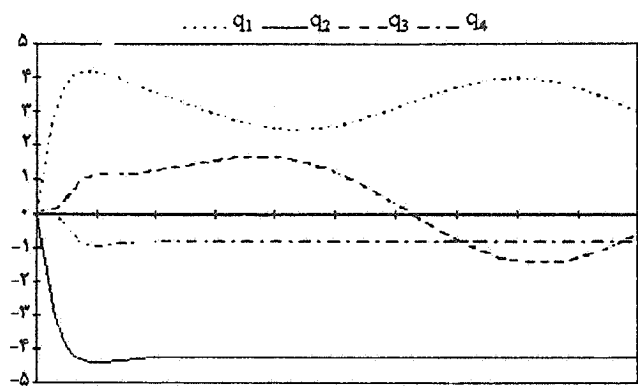
به منظور مقایسه برای هر از روش های لاگرانژ و جداسازی با تبدیل متجانس یک برنامه کامپیوتی تهیه شد. روند برنامه نویسی با روش جداسازی به گونه ای است که برای هر شکل ریات و با اضافه کردن درجه های آزادی تغییر زیادی نمی کند و به راحتی برای سیستمهای پیچیده تر قابل استفاده است. به این ترتیب می توان

حال ماتریس A در هر گام زمانی محاسبه شده و تبدیل متجانس متناظر با آن به دست می آید. با داشتن تبدیل متجانس، وارون \mathbf{L} و ماتریس $\ddot{\mathbf{h}}$ با معلوم بودن ماتریسهای \mathbf{J} و Ω مشتقهای آنها تشکیل شده و نهایتاً بدون وارون کردن ماتریس جرم و بدون احتیاج به محاسبات جبری حجم معادله های جداسازی شده به طور خودکار حاصل می شوند.

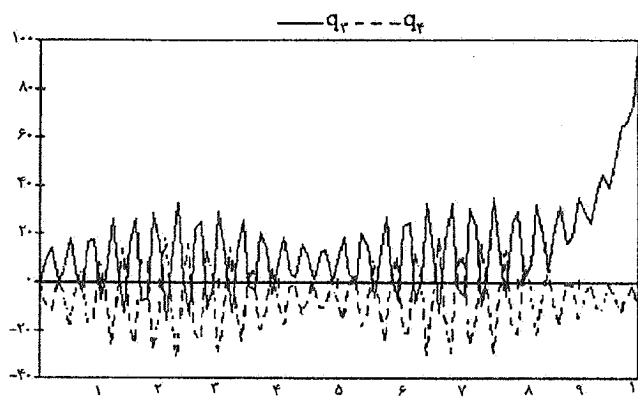


شکل ۴- مختصات عمومیت یافته (درجه) بر حسب زمان (ثانیه)

عمومیت یافته را بر حسب زمان نشان می‌دهد. در شکل (۲) سختی مفصل برابر 825 نیوتون متر بر رادیان و در شکل‌های (۳ و ۴) سختی مفصل برابر 100 نیوتون متر بر رادیان در نظر گرفته شده است. دیده می‌شود که سختی بیشتر ریات را پایدارتر می‌کند. البته به دلیل افزایش الاستیسیه مقاصل و تبود میرایی در سیستم مختص q_3 ناپایدار شده است. محور افقی زمان بر حسب ثانیه و محور عمودی مختصات عمومیت یافته بر حسب درجه هستند.



شکل ۲- مختصات عمومیت یافته (درجه) بر حسب زمان (ثانیه)



شکل ۳- مختصات عمومیت یافته (درجه) بر حسب زمان (ثانیه)

- نتیجه گیری

روند معادله‌های کین و روش جدادسازی معادله‌های حرکت سیستمهای چند جسمی هولونومیک به کمک تبدیلهای متجانس بررسی شد. البته این روش قابل تعمیم به سیستمهای ناهولونومیک نیز هست. در اینجا کاربرد و مزایای این روش نشان داده شده است. معمولاً پس از به دست آمدن معادله‌های حرکت از روش‌های مختلف، برای انتگرالگیری معادله‌ها لازم است که آنها به صورت جبری بر حسب جمله مرتبه اول حل شوند. این کار به علت حجم معادله‌ها بسیار پیچیده است. اما با استفاده از روش ارائه شده در این مقاله جمله مرتبه اول به طور خودکار جدادسازی می‌شود. این روش برای تهیه برنامه‌های چند منظوره کامپیوتی مناسب است. اولین گام تعمیم این روش برای سیستمهای الاستیک در این مقاله بررسی شد.

برنامه را تنها با تعویض ماتریسهای J و Ω برای سیستمهای دیگر استفاده کرد. لیکن برنامه توشه شده با روش لاگرانژ برای هر سیستم جدید احتیاج به بازنویسی کامل دارد. متغیرهای زیر برای نمونه عددی فرض شده‌اند.

$$m_1 = 5 \text{ Kg} ; m_2 = 5 \text{ Kg} ; I_1 = 0.05 \text{ Kg.m}^2$$

$$I_2 = 0.1 \text{ Kg.m}^2 ; l = 0.5 \text{ m} ; T_1 = 61/2 \text{ N.m}$$

$$T_2 = 12/7 \text{ N.m}$$

تمام شرایط اولیه صفر فرض شده‌اند. گشتاورهای ورودی طوری انتخاب شده‌اند که ذو بند ریات را افقی نگذارند. نتایج هر دو روش کاملاً بر هم منطبق بودند. منحنیهای ارائه شده تغییرات مختصات

واژه نامه:

1- NASTRAN

2- component mode synthesis

3- articulated

4- mathematica

1. Kelly, F. A., and Huston, R. L., "Modeling of Flexibility Effects in Robot Arms," *Proceeding of Joint Automation Control Conference*, Vol. 1, pp. 1-23, 1981.
2. Sunada, W., and Dubowsky, S., "The Application of Finite Element Method to the Dynamic Analysis of Flexible Spatial And Coplanar Linkage Systems," *Journal of Mechanical Design*, Vol. 103, pp. 643-651, July 1981.
3. Judd, P., "Dynamics of Non Rigid Articulated Robot Linkages," *Proceeding of American Control Conference*, pp. 1045-1049, 1983.
4. Usoro, P.B., "Analysis of Light Weight Flexible Manipulator Dynamics," *Computers in Engineering*, pp. 167-174, 1984.
5. Book, W. J., "Recursive Lagrangian Dynamics of Flexible Manipulator Arms," *The International Journal of Robotic Research*, Vol. 3, No. 3, pp. 87-101, Fall 1984.
6. Agraval, O. P., "Dynamic Analysis of Robotic Manipulators with Flexible Links," Doctoral Dissertation, University of Illinois at Chicago, 1984.
7. Shahinpoor, M., and Meghdari, A., "Combined Flexural Joint Stiffness Matrix and the Elastic Deformation of a Servo-Controlled Two-Link Robot Manipulator," *Robotica*, Vol. 4, pp. 237-242, 1986.
8. Meghdari, A., and Shahinpoor, M., "Elastic Deformations Characteristic of PUMA 560 Robot Manipulator," *International Journal of Robotics and Automation*, Vol. 2, No. 1, pp. 26-31, 1987.
9. Meghdari, A., and Shahinpoor, M., "Three-Dimensional Flexural-Joint Stiffness Analysis of Flexible Manipulator Arms," *Robotica*, Vol. 6, pp. 203-212, 1988.
10. Meghdari, A., "A Variational Approach for Modeling Flexibility Effects in Manipulator Arms," *Robotica*, Vol. 9, pp. 213-217, 1991.
11. Cetinkunt, S., and Ittoop, B., "Computer -Automated Symbolic Modeling of Dynamics of Robotic Manipulators with Flexible Links," *IEEE Transactions on Robotics and Automation*, Vol 8 No 1, pp. 94-105, Feb. 1992.
12. Meghdari, A., and Ghasempoori, M., "Dynamics of Flexible Manipulators," *Journal of Engineering, Islamics Republic of Iran*, Vol. 6, No. 1, pp. 19-31, Feb. 1994.
13. Lin, J., and Lewis, F. L., "A Symbolic Formulation of Dynamic Equations for a Manipulator with Rigid and Flexible Links," *The International Journal of Robotics Research*, Vol. 13, No. 5, pp. 454-465, Oct 1994.
14. Kane, T. R., *Dynamics*, Holt, Rinhart, and Winston Inc., 1970.
15. Kane, T. R., and Levinson, D. A., *Dynamics: Theory and Applications*, McGraw-Hill Inc., 1985.
16. Kane, T. R., and Levinson, D. A., "Multibody Dynamics," *Journal of Applied Mechanics*, Vol. 105, pp. 1070-1078, 1981.
17. Kane, T. R., and Levinson, D. A., "The Use of Kane's Dynamical Equations in Robotics," *The International Journal of Robotics Research*, Vol. 2, No. 3, pp. 3-20, 1983.
18. Loduha, T., "First Order Decoupling of Equations of Motion of Multibody Systems," Ph. D. Thesis, Mechanical Department of University of California-Davis, 1994.